

УДК 551.25

## ПЕТРОГЕНЕТИЧЕСКАЯ РЕШЕТКА ДЛЯ ЖЕЛЕЗИСТО-ГЛИНОЗЕМИСТЫХ МЕТАПЕЛИТОВ В СИСТЕМЕ $K_2O$ – $FeO$ – $MgO$ – $Al_2O_3$ – $SiO_2$ – $H_2O$

© 2004 г. И. И. Лиханов, академик В. В. Ревердатто, А. Ю. Селятицкий

Поступило 28.07.2003 г.

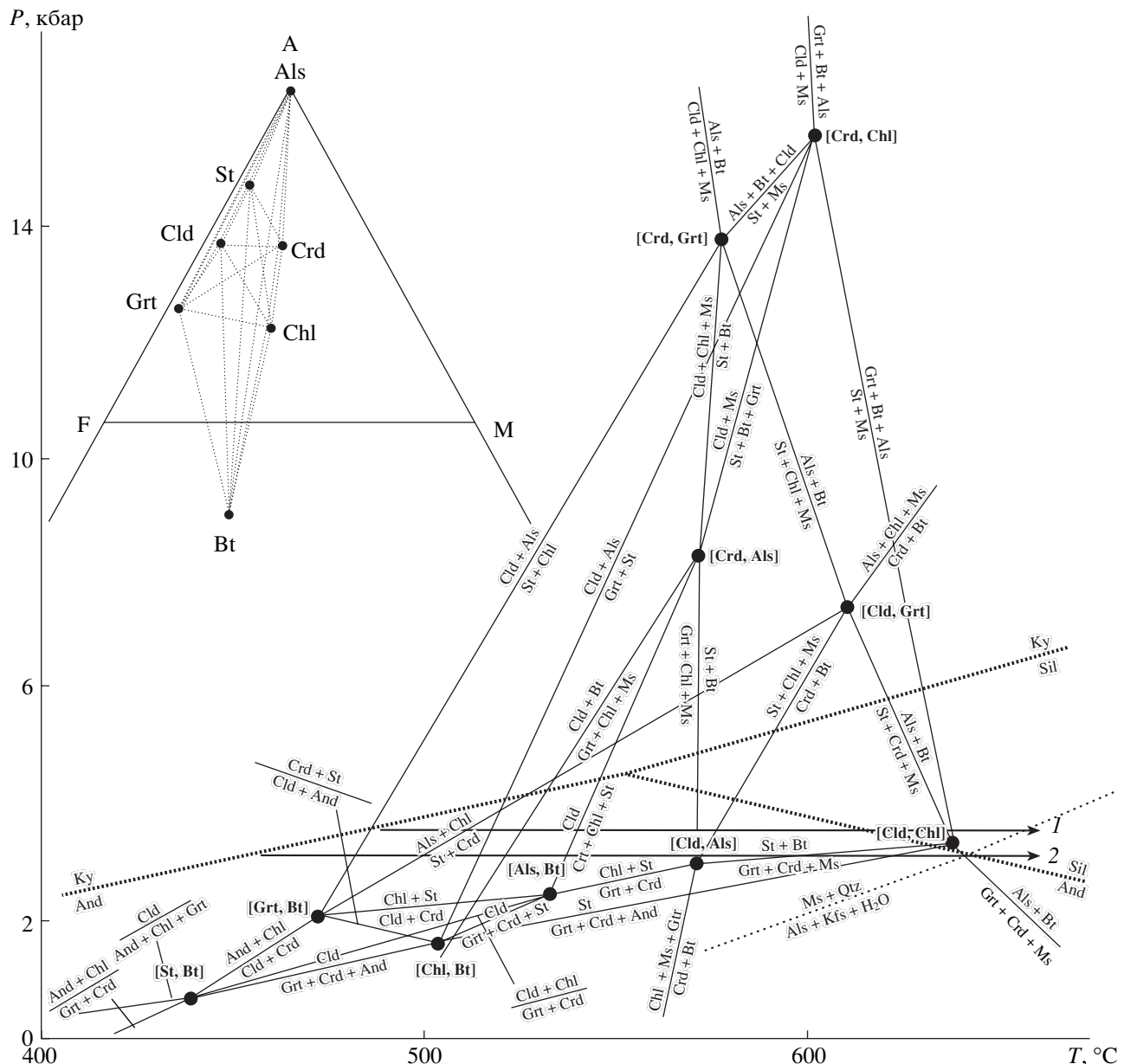
По мере накопления детальных петрологических наблюдений по различным типам зональности метаморфических комплексов низких и умеренных давлений были выявлены новые типы фазовых равновесий и установлены важные закономерности изменения метапелитовых ассоциаций и химического состава входящих в них минералов в зависимости от вариаций физико-химических условий образования. Эти результаты обнаружили некоторую несогласованность существующих петрогенетических схем. Особенно это относится к пелитам специфического железисто-глиноzemистого состава, метаморфизм которых приводит к появлению редких минеральных парагенезисов с участием хлоритоида, железистого кордиерита и др.: хлоритоид + биотит, хлоритоид + биотит + андалузит и кордиерит + гранат + мусковит. Один из ключевых минеральных парагенезисов метапелитов хлоритоид + биотит на петрогенетических диаграммах Харта и Хадсона [1] и Кепежинскаса и Хлестова [2] устойчив при относительно низких и высоких давлениях в узком температурном интервале в отличие от петрогенетической решетки Спира и Чени [3], где эта ассоциация стабильна в широких  $PT$ -условиях. Между этими петрогенетическими решетками имеются и другие несоответствия. В частности, Спир и Чени [3] предполагают стабильность хлоритоида с биотитом на низкотемпературной стороне равновесия хлоритоид + биотит = гранат + хлорит, тогда как Харт и Хадсон [1] считают, что на низкотемпературной стороне этого равновесия стабильны гранат и хлорит. Вопрос о стабильности парагенезиса гранат + кордиерит + мусковит имеет важное петрологическое значение в связи с тем, что на многих вариантах  $PT$ -диаграмм он не рассматривается в качестве стабильного парагенезиса, появляясь лишь в поле калиевого полевого шпата [3]. Принятие его в качестве стабильного парагенезиса

приводит к тому, что при  $P \leq 3$ –4 кбар поле устойчивости альтернативной ассоциации биотит + андалузит исчезает [4].

Пытаясь преодолеть упомянутые противоречия, мы построили новый вариант петрогенетической решетки, применимый для анализа метаморфической эволюции железисто-глиноzemистых метапелитов. Построение принципиальной  $PT$ -диаграммы для пород такого состава осуществлялось в системе KFMASH с двумя отрицательными степенями свободы из шести компонентов:  $K_2O$ – $FeO$ – $MgO$ – $Al_2O_3$ – $SiO_2$ – $H_2O$ . На ней не отражены возможные осложнения, которые возникают из-за присутствия повышенных количеств  $MnO$ ,  $CaO$ ,  $Na_2O$ ,  $Fe_2O_3$  и  $ZnO$  в породе. Мы допускаем, что эти компоненты практически полностью концентрируются в одних и тех же фазах, постоянно присутствующих в метапелитах. Так,  $Na_2O$  и  $CaO$  можно почти целиком отнести за счет плагиоклаза и частично эпидота;  $Fe_2O_3$  связывается с появлением рудных минералов,  $MnO$  и  $ZnO$  преимущественно концентрируются в гранате и ставролите. Для метапелитов низких и умеренных температурных ступеней набор основных фаз, относящихся к данной системе, практически ограничивается следующим набором из 10 минералов: Grt (гранат), St (ставролит), Cld (хлоритоид), Bt (биотит), Chl (хлорит), Crd (кордиерит), Als (андалузит, силлманит или кианит), Ms (мусковит), Qtz (кварц) и  $H_2O$  (поровый флюид). Было принято, что  $P_{H_2O} = P_{\text{общ}}$ .

При построении петрогенетической решетки для железисто-глиноzemистых метапелитов использовался комплексный подход с использованием синтеза природных наблюдений, экспериментальных данных и термодинамических расчетов. На основании литературных данных [5, 6] по химическим составам минералов переменного состава был установлен следующий ряд соотношения железистости ( $FeO/FeO + MgO$ ):  $Grt_{95-92} > > St_{98-88} \geq Cld_{90-85} > Bt_{75-70} > Chl_{70-65} > Crd_{65-50}$ . Отсюда положение составов рассматриваемых фаз на треугольнике AFM имеет вид, представленный

Институт минералогии и петрографии  
Сибирского отделения Российской Академии наук,  
Новосибирск



**Рис. 1.**Петрогенетическая схематическая *PT*-диаграмма для железисто-глиноземистых метапелитов в KFMASH-системе. Жирным пунктиром показаны границы равновесий полиморфов  $\text{Al}_2\text{SiO}_5$  по экспериментальным данным [14], тонким пунктиром – линия равновесия  $\text{Ms} + \text{Qtz} = \text{Als} + \text{Kfs}$  (калиевый полевой шпат) +  $\text{H}_2\text{O}$  по экспериментальным данным [15]. Стрелками показана эволюция железисто-глиноземистых метапелитов сыйской свиты, Кузнецкого Алатау (1) и роговиков Аяхтинского ореола, Енисейский кряж (2). Мусковит, кварц и  $\text{H}_2\text{O}$ , постоянно присутствующие в системе в качестве избыточных компонентов, на диаграмме не показаны, за исключением некоторых случаев, когда мусковит вводится для уравновешивания моновариантных реакций с биотитом. Число лучей, исходящих из нонвариантных точек, ограничено пятью. Узел без кордиерита и хлорита [ $\text{Crd}, \text{Chl}$ ] может быть метастабильным, так как при  $P_{\text{H}_2\text{O}} = P_{\text{общ}}$  он попадает в область плавления. Большинство опорных экспериментальных данных, использованных при построении диаграммы, приведено в [3–5].

как врезка на рис. 1. Расчет пучков и углов наклона линий моновариантных равновесий выполнялся по Скрейнемакерсу [7] с учетом теплового и объемного эффектов реакций дегидратации. Минералы переменного состава рассматривались как смесь миналов твердого раствора. Термоди-

намические данные для миналов заимствованы из базы данных Бермана [8]; при этом величины для промежуточных составов оценивались в предложении идеального смешения конечных членов, интерполированных с учетом энтропии смешения. База данных Бермана включает в себя высокоточные экспериментальные данные по физико-химическим свойствам и структуре минералов.

коглиноземистые и железистые хлорит, биотит и кордиерит, соответствующие по химическому составу минералам природных парагенезисов железисто-глиноземистых метапелитов. Термодинамические константы для воды при различных  $T$  и  $P$  вычислены с помощью уравнения состояния [9]. Конфигурация построенной диаграммы с приблизительной  $PT$ -привязкой полей устойчивости важнейших минеральных парагенезисов показана на рис. 1.

Из анализа этой диаграммы следуют важные петрологические выводы в отношении эволюции железисто-глиноземистых метапелитов: 1) поле устойчивости  $\text{Cld} + \text{Crd}$ -ассоциации характеризуется наименьшими  $P$  и  $T$ , что согласуется с находками этого парагенезиса во внешних частях контактовых ореолов или регионально-метаморфических комплексах низких давлений; 2) парагенезис  $\text{Grt} + \text{Crd} + \text{Ms}$  также характеризуется пониженными  $P$ , но более высокими температурами по отношению к  $\text{Cld} + \text{Crd}$ -ассоциации; поле устойчивости парагенезиса  $\text{Grt} + \text{Crd} + \text{Ms}$  сменяется  $\text{Bt} + \text{Als}$ -ассоциацией с ростом температуры; 3) парагенезис  $\text{Cld} + \text{Bt}$  устойчив в узком температурном диапазоне в комплексах как низких, так и повышенных давлений; с ростом температуры эта ассоциация сменяется парагенезисом  $\text{Grt} + \text{Chl}$ , устойчивым в узком интервале температур при повышенных давлениях и более широком диапазоне при низких давлениях; 4) поле устойчивости парагенезиса  $\text{Grt} + \text{Chl}$  ограничено со стороны более высоких температур появлением  $\text{Crd} + \text{Bt}$  парагенезиса при низких давлениях и парагенезиса  $\text{St} + \text{Bt}$  при умеренных давлениях; поле устойчивости парагенезиса  $\text{Crd} + \text{Bt}$  характеризует широкие интервалы  $T$  и  $P$ ; 5) поля устойчивости  $\text{St} + \text{Bt}$  и  $\text{Bt} + \text{Als}$  характеризуются узкими интервалами температур, при этом парагенезис  $\text{St} + \text{Bt}$  сменяется  $\text{Bt} + \text{Als}$ -парагенезисом с ростом температуры, поле которого, в свою очередь, сменяется  $\text{Grt} + \text{Bt} + \text{Als}$ -ассоциацией, устойчивой в широком диапазоне давлений; 6) в прогрессивной последовательности в биотитсодержащих породах в области низких и умеренных давлений ставролит появляется раньше полиморфов  $\text{Al}_2\text{SiO}_5$ , но с ростом давления соответствующий температурный интервал уменьшается, что приводит к сближению изоград ставролита и кианита в области высоких давлений.

Для оценки пригодности данной петрогенетической решетки при интерпретации реальных минеральных превращений в железисто-глиноземистых метапелитах результаты термодинамического моделирования были сопоставлены с природными наблюдениями по  $PT$ -устойчивости соответствующих минеральных парагенезисов в метаморфических комплексах. В качестве базовых объектов для сравнительного анализа выбраны ранее детально изученные железисто-глиноземистые мета-

пелиты, подвергшиеся kontaktовому и региональному метаморфизму в условиях разных температур и давлений [5, 6]. Схематические  $PT$ -траектории эволюции минеральных ассоциаций Аяхтинского kontaktового ореола (Енисейский кряж) [5] и метапелитов сыйской свиты (Кузнецкий Алатау) [6] показаны на рис. 1. Последовательность наблюдавшихся минеральных парагенезисов и реакций в этих зональных метаморфических комплексах хорошо согласуется с данными представленной схемы. Термодинамический анализ показывает, что повышенные концентрации  $\text{MnO}$  в гранатах ( $X_{\text{Sp}} \gg X_{\text{Pr}}$ ), где  $X_{\text{Sp}}$  и  $X_{\text{Pr}}$  отвечают содержанию спессартинового и пиропового компонентов, способствуют расширению диапазона температурной устойчивости гранатсодержащих парагенезисов на средних ступенях метаморфизма и сужению, иногда до полного выклинивания, полей устойчивости пограничных парагенезисов ( $\text{Cld} + \text{Bt}$  и  $\text{St} + \text{Bt}$ ). Так, отсутствие ставролита в роговиках Аяхтинского массива (например, по реакции  $\text{Grt} + \text{Chl} + \text{Ms} = \text{St} + \text{Bt}$ ) может быть объяснено устойчивостью в kontaktовом ореоле альтернативного парагенезиса  $\text{Crd} + \text{Bt}$ , появляющегося при росте температуры за счет ассоциации  $\text{Grt} + \text{Chl} + \text{Ms}$ . Напротив, в железисто-глиноземистых метапелитах сыйской свиты, характеризующихся более высокими давлениями ( $P = 3.5$  кбар) и стабильностью менее марганцовистых гранатов ( $X_{\text{Sp}} = X_{\text{Pr}}$ ), происходит появление ставролитсодержащих ассоциаций на средних ступенях регионального метаморфизма, что согласуется с данными представленной петрогенетической решетки и минеральными превращениями, описанными в железисто-глиноземистых породах низких и умеренных давлений в других районах мира [10–13].

**Выводы.** Сравнительный анализ петрогенетических решеток для типичных (обычного состава) и железисто-глиноземистых метапелитов позволяет установить: 1) средне- и высокотемпературные области большинства диаграмм [1–4] похожи, за исключением появления поля устойчивости ассоциации  $\text{Grt} + \text{Crd} + \text{Ms}$  при низких давлениях в железисто-глиноземистых метапелитах; 2) существенные отличия в топологии диаграмм фиксируются на низких и средних ступенях метаморфизма при  $T \leq 570^\circ\text{C}$ , где в железисто-глиноземистых метапелитах хлоритоид появляется раньше биотита и устойчивы редкие парагенезисы ( $\text{Cld} + \text{Bt}$ ,  $\text{Cld} + \text{Bt} + \text{And}$ ), что приводит к изменению характера и последовательности минеральных превращений:  $\text{Cld} + \text{Bt} \rightarrow \text{Grt} + \text{Chl} \rightarrow \text{St} + \text{Bt}$  или  $\text{Crd} + \text{Bt}$ . Эти результаты согласуются с данными природных наблюдений по метаморфической эволюции железисто-глиноземистых метапелитов.

Исследования осуществлялись при поддержке РФФИ (проект 03–05–64014) и фонда “Университеты России” (проект УР.09.01.037).

## СПИСОК ЛИТЕРАТУРЫ

1. *Harte B., Hudson N.F.C.* // Geol. Soc. London Spec. Publ. 1979. V. 8. P. 323–337.
2. *Kepezhinskas K.B., Khlestov V.V.* // J. Petrol. 1977. V. 18. P. 114–143.
3. *Spear F.S., Cheney J.T.* // Contribs Mineral. and Petrol. 1989. V. 101. P. 149–164.
4. Кориковский С.П. Фации метаморфизма метапелитов. М.: Наука, 1979. 263 с.
5. *Likhanov I.I., Reverdatto V.V., Sheplev V.S. et al.* // Lithos. 2001. V. 58. P. 55–80.
6. *Likhanov I.I.* // Intern. Geol. Rev. 1988. V. 30. P. 868–877.
7. Скрайнемакерс Ф.А. Нонвариантные, моновариантные и дивариантные равновесия. М.: Изд-во иностр. лит., 1948. 214 с.
8. *Berman R.G.* // J. Petrol. 1988. V. 29. P. 455–522.
9. *Haar L., Gallagher J., Kell G.S.* Water and Stream: Their Properties and Current Industrial Application. N.Y.: Pergamon, 1979. P. 69–82.
10. *Graesner T., Schenk V.* // J. Metamorph. Geol. 1999. V. 17. P. 152–172.
11. *Whitney D.L., Mechum T.A., Kuehner S.M., Dilek Y.R.* // J. Metamorph. Geol. 1996. V. 14. P. 163–181.
12. *Spalla M.I., Carminati E., Ceriani S. et al.* // J. Metamorph. Geol. 1999. V. 17. P. 319–336.
13. *Okuyama-Kusunose Y.* // J. Metamorph. Geol. 1994. V. 12. P. 153–168.
14. *Kerrick D.M., Heninger S.G.* // Geol. Soc. Amer. Abstr. with Progr. 1984. V. 16. P. 558.
15. *Chatterjee N.D., Johannes W.S.* // Contribs Mineral. and Petrol. 1974. V. 48. P. 89–114.